

# ΕΕ725 - Ειδικά Θέματα Ψηφιακών

## Επικονιωνών

Δημήτρης - Αλέξανδρος Τουμπακάρης

9ο Μεσημέρι - 4 Μαΐου 2009

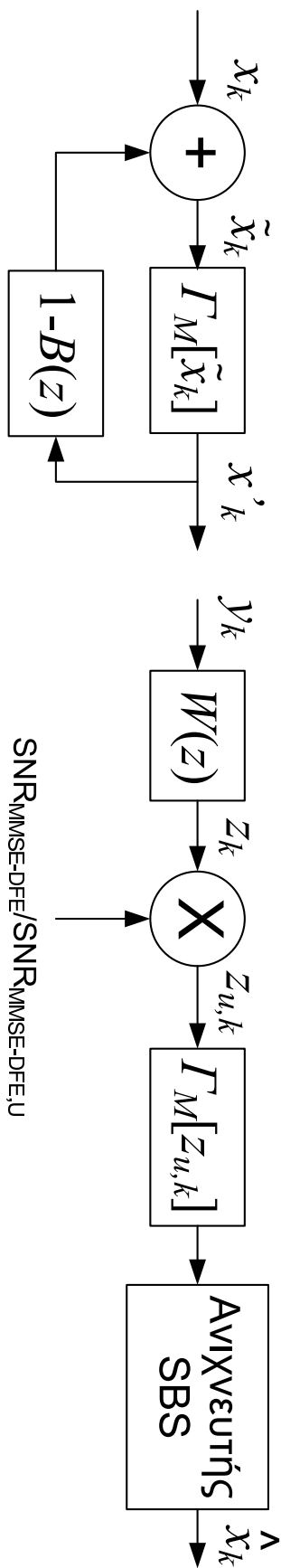
# Περιεχόμενα σημερινού μαθήματος

- **Tomlinson-Harashima Precoder**
  - Cioffi Ch. 3
- Το ασύρματο (wireless) κανάλι

## Ο προκωδικοποιητής (precoder) Tomlinson-Harashima

---

- Ένας τρόπος για να αντιμετωπιστεί η διάδοση σφαλμάτων στο DFE είναι με χρήση προκωδικοποιητή Tomlinson-Harashima.
- Μπορεί να αποδειχθεί ότι ο συγνυστικός πολυπού και δέκτη του σχήματος έχει ίδια απόδοση με τον DFE, χωρίς να εμφανίζεται διάδοση σφαλμάτος. Ο  $\Gamma_M(\cdot)$  είναι ο τελεστής υπολοίπου (modulo operator).  $\Gamma_M(x) = x - M d \lfloor \frac{x + \frac{Md}{2}}{Md} \rfloor$  για PAM και SQ-QAM.
- Το χόστος: Μικρή αύξηση της απαιτούμενης ισχύος για τη μετάδοση: κατά  $\frac{M^2}{M^2-1}$  για QAM, περισσότερο για μη τετραγωνικούς αστερισμούς.
- Πλέντως, η αύξηση της ισχύος είναι της τάξης των λόγων dB.



$$\text{SNR}_{\text{MMSE-DFE}}/\text{SNR}_{\text{MMSE-DFE,U}}$$

## Το ασύρματο (wireless) κονάλι

---

- Tomlinson-Harashima Precoder
- Το ασύρματο (wireless) κονάλι

  - Tse & Vishwanath, Ch.2

## Το ασύρματο (wireless) κανάλι

---

- Μέχρι τώρα είδαμε πώς μπορούμε να μεταδόσουμε από ένα σημείο σε ένα άλλο (point-to-point). Θεωρήσαμε σταθερό και δεδομένο κανάλι, γνωστό τόσο στον πομπό όσο και στο δέκτη. Η μόνη άγνωστη ποσότητα (επιπλέον των μεταδιδόμενων μηνυμάτων) ήταν ο θόρυβος.
- Στην πράξη, το κανάλι μπορεί να μην είναι γνωστό στον πομπό ή στο δέκτη ή και στους δύο. Για να επιευχθεί επικοινωνία με σύμφωνη (*coherent*) μετάδοση πρέπει να εκπιμηθεί το κανάλι στο δέκτη, αλλιώς πρέπει χρησιμοποιηθεί ασύμφωνη (*non-coherent*) μετάδοση.
- Εάν το κανάλι είναι γνωστό όχι μόνο στο δέκτη, αλλά και στον πομπό, ενδέχεται να είναι δυνατή περαιτέρω αύξηση του ρυθμού μετάδοσης με χρήση βελτιστοποίησης εκπεμπόμενου σήματος (*transmit optimization*).
- Πολλά ασύρματα κανάλια όχι μόνο δεν είναι γνωστά εκ των προτέρων, αλλά, επιπλέον, μεταβάλλονται στο χρόνο.

## Το ασύρματο (wireless) κανάλι (2)

---

Στη συνέχεια θα δούμε

- Ποια φανόμενα επηρεάζουν τα σήματα στα ασύρματα κανάλια;
- Πώς μοντελοποιήμε τα ασύρματα κανάλια;
- Τι είδους προβλήματα και προκλήσεις παρουσιάζει η χρήση ασύρματων καναλιών;

Μετά τη (σχετικά σύντομη) αναφορά στα ασύρματα κανάλια, θα ολοκληρώσουμε το μάθημα με περιγραφή της μεθόδου διαιρόρφωσης **OFDM** (**O**rthogonal **F**requency **D**ivision **M**ultiplexing) η οποία χρησιμοποιείται τόσο σε ενσύρματα (και σχετικά αμετάβλητα) κανάλια, όσο και σε ασύρματα (και, γενικά, μεταβαλλόμενα) κανάλια.

Εάν μείνει χρόνος, ίσως επιστρέψουμε και πάλι στα ασύρματα κανάλια για να μιλήσουμε για συστήματα πολλαπλών εισόδων και εξόδων (Multiple Input Multiple Output – MIMO).

# Το ασύρματο κανάλι κινητών τηλεπικοινωνιών **(mobile wireless channel)**

---

- Θα επικεντρωθούμε σε αυτό το κανάλι λόγω της μεγάλου πεδίου εφαρμογής των συστημάτων κινητών επικοινωνιών (κινητή τηλεφωνία, ασύρματα τοπικά/μητροπολιτικά δίκτυα).
- Το ασύρματο κανάλι κινητών τηλεπικοινωνιών μεταβάλλεται στο χρόνο και στη συχνότητα.
- Δύο βασικά φαινόμενα:
  - Διαλεψίεις μεγάλης κλίμακας (large-scale fading): λόγω απωλείαν διαδρομής (path loss) και σκίασης (shadowing) λόγω απορρόφησης ενέργειας από εμπόδια όπως κτίρια και φυσικά εμπόδια (π.χ. λόφοι). Το κανάλι μεταβάλλεται σε αποστάσεις της τάξης του μεγέθους της κυψέλης και, συνήθως, η μεταβολή του δεν εξαρτάται από τη συχνότητα.
  - Διαλεψίεις μικρής κλίμακας (small-scale fading): λόγω συμβολής πολλαπλών αγκαλάσεων του ίδιου σήματος. Το κανάλι μεταβάλλεται σε αποστάσεις της τάξης του μήκους κύματος της φέρουσας συχνότητας και η μεταβολή εξαρτάται από τη συχνότητα.

## Απώλειες διαδρομής και σκίαση

- Απώλειες διαδρομής: Αόγα σφαιρικής διάδοσης των ηλεκτρομαγνητικών κυμάτων.

– Στον ελεύθερο χώρο, η σχήμας μείωσης της απόστασης

$$r \text{ από } r_0 \text{ προσήγαγε } P(r) \sim \frac{1}{r^2}.$$

– Στους ενισχυτικούς πυροδότες του συναντούν τα κύλιτα.  
– Στο περιβάλλοντα ενδέχεται να είναι ακόμη μεγαλύτερη. Της τάξης του  $\frac{1}{r^4}$  (ύπαρθος), ακόμη και  $\frac{1}{r^6}$ , ανάλογα με την συντελεστή απορρόφησης και φωτισμού.

- Σκίαση: Με τον όρο μιας εννοούμε τις (τυχαίες) διακυμάνσεις της ενέργειας του σήματος λόγω των αλλαγών στο περιβάλλον (αριθμός εποδών, θέση συντελεστής απορρόφησης κλπ.).

## Απώλειες διαδρομής και σκίαση (2)

---

- Η μεταβολή του καναλιού λόγω σκίασης και απωλειών διαδρομής είναι της τάξης δευτερολέπτων ή ακόμα και λεπτών, σε αντίθεση με τις διαλείψεις μικρής κλίμακας.
- Οι διαλείψεις μεγάλης κλίμακας λαμβάνονται υπόψη κυρίως για τον καθορισμό της τοπολογίας του συστήματος (αριθμός κυψελών, τοποθέτηση σταθμών βάσης), για τον υπολογισμό της απαιτούμενης ισχύος εκπομπής καθώς και για την επιλογή μεθόδων πολυπλεζίας, αντιμετώπισης διακυψηκής παρεμβολής κλπ.
- Αντίθετα, όπως θα δούμε, οι διαλείψεις μικρής κλίμακας επηρεάζουν τις μεθόδους (απο)διαμόρφωσης και (απο)καδικοποίησης.

## Τα δύο βασικά φαινόμενα σε ένα κανάλι κινητών επικοινωνιών

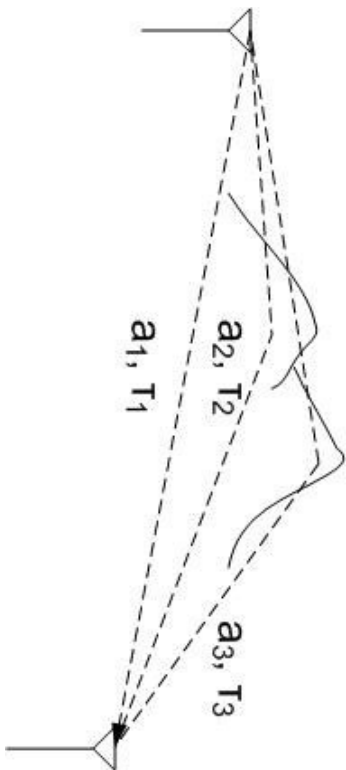
---

- Σε ένα κανάλι κινητών επικοινωνιών διακρίνουμε δύο βασικά φαινόμενα τα οποία, γενικά, εμφανίζονται ταυτόχρονα.
- Λόγω της κίνησης του πομπού ή/και των αντικεμένων πάνω στα οποία αναλάβουν ή σκεδάζεται το σήμα, το κανάλι μεταβάλλεται στο χρόνο (**fading**) και έχουμε εμφάνιση φανομένου **Doppler**.
- Λόγω των πολλών μονοπατίων που ενδέχεται να ακολουθεί κάθε σήμα στη διαδρομή του μεταξύ πομπού και δέκτη (πολυδιαδρομή διάδοση) εμφανίζεται διασπορά της χρονιστικής απόκρισης (**multipath delay spread**), με αποτέλεσμα το κανάλι να μην είναι επίπεδο στη συχνότητα (**frequency selectivity**).
- Η μεταβολή στο χρόνο και στη συχνότητα δεν είναι, απαραίτητα, επιβλαβής. Πολλές φορές προσφέρει τη δυνατότητα να βελτιώσουμε τη μετάδοση/λήψη με χρήση τεχνιών διαφορισμού (**diversity**).

# Πολυδιαδρομική διάδοση (Multipath propagation)

---

- Έστω ότι ένα σήμα διέρχεται από διαφορετικά μονοπάτια, με αποτέλεσμα διαφορετικά αντίγραφά του να φτάνουν στο δέκτη με διαφορετικό πλάτος και φάση, καθώς και σε διαφορετικές χρονικές σπιγμές.
- Έστω ότι μεταδίδουμε μια εκθετική συνάρτηση (θεωρούμε το βαθυπεραπό ισοδύναμο ζωνοπεραπό συστήματος)  $\phi(t) = \exp(j2\pi f_c t)$ ,  $y(t) = \sum_i a_i(t, f_c) \phi(t - \tau_i(t, f_c))$ , όπου η μηδική σταθερά  $a_i(t, f_c)$  (πλάτος και φάση) και η καθυστέρηση  $\tau_i(t, f_c)$  αντιστοιχούν στο μονοπάτι  $i$ .

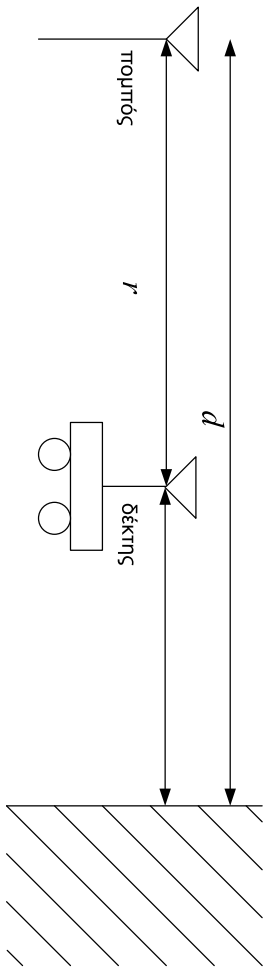


## Πολυδιαδρομική διάδοση (Multipath propagation) (2)

---

- Εάν υποθέσουμε ότι οι  $a_i(t, f)$  και  $\tau_i(t, f)$  δε μεταβάλλονται σημαντικά με τη συχνότητα  $f$  στο εύρος ζώνης που χρησιμοποιείται για τη μετάδοση και εκφράσουμε το μεταδίδομενο σήμα ως άνθρισμα συναρτήσεων της μορφής  $\phi(t) = \exp(j2\pi ft)$  (αρχή της υπέρθεσης) μπορούμε να γράψουμε  $y(t) = \sum_i a_i(t)x(t - \tau_i(t))$ .
- Παρατηρήστε ότι το κωνάλι αλλάζει στο χρόνο λόγω κάνγρας  $\Rightarrow$  Μοντελοποιείται ως γραμμικό, χρονικώς μεταβαλλόμενο σύστημα.
- $y(t) = \int_{-\infty}^{\infty} h(\tau, t)x(t - \tau)d\tau$ , όπου  $h(\tau, t) = \sum_i a_i(t)\delta(\tau - \tau_i(t))$ .
- Δεν μπορούμε να χρησιμοποιήσουμε απόκριση συχνότητας  $H(f)$ , εκτός αν συμπεριλάβουμε την εξάρτηση από το χρόνο:  $H(f, t) = \mathcal{F}\{h(\tau, t)\}$  για δεδομένο  $t$ .
- Εάν δεν έχουμε κάνγρα,  $y(t) = \sum_i a_i x(t - \tau_i)$  (γραμμικό, χρονικά αμετάβλητο).  $h(t) = \sum_i a_i \delta(t - \tau_i)$ .
- Το κωνάλι δεν είναι επίπεδο στη συχνότητα ακόμα και όταν δε μεταβάλλεται με το χρόνο (γιατί;)

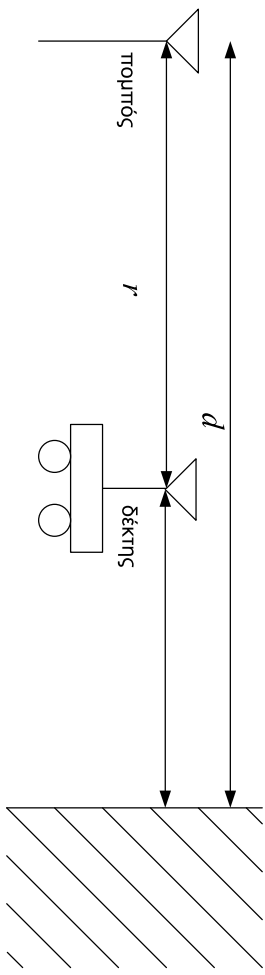
## Παράδειγμα (**Τse**): Τοίχος με ανάκλαση



- Ο δέκτης δεν κινείται.

- Πεδίο στο δέκτη:  $E_r(f, t) = \frac{\alpha \cos 2\pi f(t - \frac{r}{c})}{r} - \frac{\alpha \cos 2\pi f(t - \frac{2d-r}{c})}{2d-r}$ .  $\alpha$ : Κέρδος κεραίας. Θεωρούμε ότι η απόλευτη διαδρομής είναι η ίδια και για τα δύο κύματα.
- Η διαφορά φάσης μεταξύ των δύο κυμάτων ισούται με  $\Delta\theta = \left(\frac{2\pi f(2d-r)}{c} + \pi\right) - \left(\frac{2\pi f r}{c}\right) = \frac{4\pi f}{c}(d-r) + \pi$ .

## Παρόδειγμα (Τσε): Τοίχος με ανάκλαση (2)



- $\Delta\theta = \frac{4\pi f}{c}(d - r) + \pi$ .
- Εάν  $\eta(d - r)$  αλλάζει κατά  $\frac{\lambda}{4}$  η διαφορά φάσης αλλάζει κατά  $\pi$ . Επομένως, εάν για κάποια τιμή της  $(d - r)$  η  $E_r(f, t)$  μεγιστοποιείται, σε απόσταση  $\frac{\lambda}{4}$  θα ελαχιστοποιηθεί.
- Για  $f = 2.4$  GHz (π.χ. IEEE 802.11b),  $\frac{\lambda}{4} \approx 3.1$  cm!

## Διασπορά λόγω πολυδιαδρομικής διάδοσης (**multipath spread**) και εύρος ζώνης συμφωνίας (**coherence bandwidth**)

---

- Multipath Delay Spread  $T_d \triangleq \max_{i,j} |\tau_i(t) - \tau_j(t)|$ : Το μέγιστο μήκος καναλιού στο χρόνο. Σχετίζεται με τη διασυμβολική παρεμβολή (και την επιλεκτικότητα, στη συχνότητα).
- Συνήθως σίγαται ανάλογο του μεγέθους της κυψέλης (**cell**). Για LANs με μονοπάτια μήκους λίγων km,  $T_d \sim 1 - 2 \mu s$ . Τυπικές τιμές: macro-cellular: 100 ns - 10  $\mu s$  (μεγάλες στις αστικές περιοχές, μικρές σε ανοικτούς χώρους). Indoor και micro-cellular: Λιγότερο από 1  $\mu s$ .
- Στο προηγούμενο παράδειγμα,  $T_d = \frac{2d-r}{c} - \frac{r}{c}$ .

## Διασπορά λόγω πολυδιαδρομικής διάδοσης (**multipath spread**) και εύρος ζώνης συμφωνίας (**coherence bandwidth**) (2)

---

- Coherence bandwidth  $W_c \triangleq \frac{1}{2T_d}$ . Όσο μεγαλύτερο το μέγιστο μήκος καναλιού, τόσο πιο γρήγορα μεταβάλλεται το κανάλι στη συχνότητα. Μικρό  $W_c \rightarrow$  γρήγορη μεταβολή στη συχνότητα (frequency selectivity).

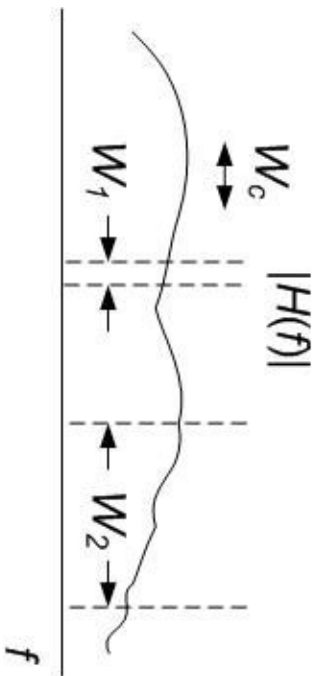
- Στο προηγούμενο παράδειγμα,  $\Delta\theta = \left( \frac{2\pi f(2d-r)}{c} + \pi \right) - \left( \frac{2\pi fr}{c} \right) = \frac{4\pi f}{c}(d-r) + \pi$ . Επομένως, η φάση αλλάζει κατά  $\pi$  εάν η συχνότητα  $f$  αλλάξει κατά  $\frac{1}{2} \left( \frac{2d-r}{c} - \frac{r}{c} \right)^{-1} = \frac{1}{2T_d}$ .

## Flat/frequency selective fading

---

- Παρατηρήστε ότι η μορφή διαιλείψεων εξαρτάται τόσο από το εύρος ζώνης συμφωνίας  $W_c$  όσο και από το εύρος ζώνης που χρησιμοποιεί το σύστημα.
- Οταν το εύρος ζώνης  $W$  που χρησιμοποιείται για τη μετάδοση είναι  $<< W_c$  (π.χ.  $W_1$ ), έχουμε επίπεδη διάλειψη (flat fading). Άλλως η διάλειψη ονομάζεται επιλεκτική στη συχνότητα (frequency-selective fading).

- Διασθητικά: Όταν μεταδίδουμε αργά (και δεν γιατοληπτούμε αραιά στην έξοδο του προσαρμοσμένου φίλτρου) δεν μπορούμε να διαχωρίσουμε τα μονοπάτια μεταξύ τους και βλέπουμε απλώς την ενέργεια του λαμβανόμενου σήματος να μεταβάλεται.



## Φανόμενο **Doppler** και χρόνος συμφωνίας

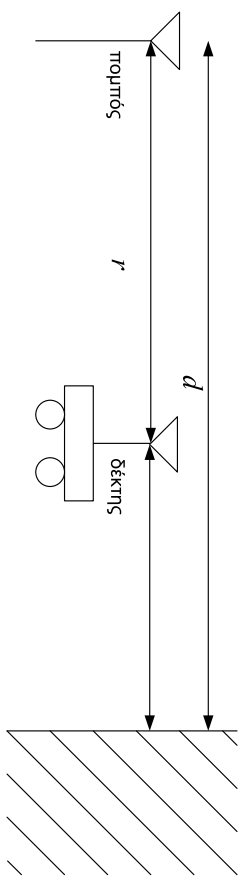
- Υποθέτουμε ότι ο πομπός μεταδίδει σήμα  $x(t) = \cos(2\pi f t)$ . Ο δέκτης λαμβάνει σήμα  $y(t) = \alpha \cos(2\pi f(t - t_d))$ , όπου  $t_d$  η καθυστέρηση του γλεκτρομαγνητικού κύματος λόγω πεπερασμένης ταχύτητας του φωτός  $c$ .
- Εάν η απόσταση πομπού-δέκτη ισούται με  $r$ ,  $t_d = \frac{r}{c}$ .
- Εάν ο δέκτης απομακρύνεται από τον πομπό με σταθερή ταχύτητα,  $r = r_0 + vt \Rightarrow y(t) = \alpha \cos(2\pi f(t - \frac{r_0+vt}{c})) = \alpha \cos(2\pi f((1 - \frac{v}{c})t - \frac{r_0}{c}))$ .
- Επομένως, ο δέκτης βλέπει το προσπίπτον σήμα μεταποιημένο στη συχνότητα  $f_D = -f \frac{v}{c} = -\frac{v}{\lambda}$ .
- Γενικά (εάν η κίνηση γίνεται υπό γωνία  $\theta$ ) η μεταπόση συχνότητας λόγω Doppler ισούται με  $f_D \cos(\theta) = \cos(\theta) \frac{v}{\lambda}$ .

## Φαινόμενο **Doppler** και Χρόνος συμφωνίας (2)

---

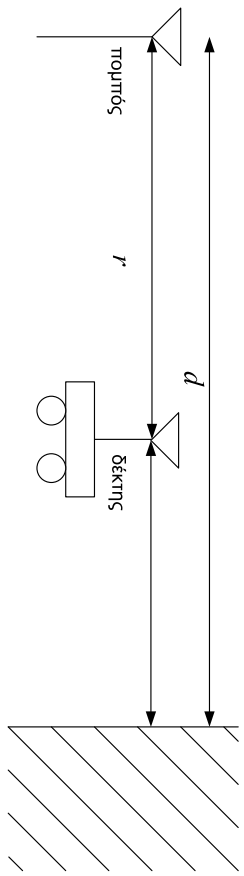
- Κάνθε μονοπάτι στα κανάλια πολυδιαδρομής διάδοσης έχει διαφορετική μεταπόστιη Doppler, ανάλογα με την ταχύτητα του πομπού, του δέκτη και των ανακλαστήρων που βρίσκονται στη διαδρομή του. Επίσης, οι ταχύτητες ενδέχεται να μεταβάλλονται.
- Επομένως, οι μεταπίσεις συχνότητας λόγω Doppler σχηματίζουν μια περιοχή γύρω από τη συχνότητα φέρουσας  $f_c$  (Doppler Spread).
- Έστω ένα κανάλι με **L taps** τη χρονική στιγμή  $t$ :  $h(t) = \sum_{l=0}^{L-1} h_l(t) \delta(t - \tau_l(t))$ .
- **Doppler spread** για ένα από τα **taps** του καναλιού:  $D_s \triangleq \max_{i,j} f_c |\tilde{\tau}'_i(t) - \tilde{\tau}'_j(t)|$  ( $\tilde{\tau}'$ : ταχύτητες,  $\tilde{\tau}_i$ : όλα τα μονοπάτια που ενσωματώνουμε στο tap  $\tau_i$  óταν δεγματοληπτούμε το κανάλι).
- Χρόνος συμφωνίας (Coherence Time)  $T_c \approx \frac{1}{4D_s}$ . Είναι ένα μέτρο του πόσο γρήγορα αλλάζει η τιμή του tap  $h_l(t)$  στο χρόνο (η αλλαγή οφείλεται σε αλλαγές της φάσης του σήματος λόγω Doppler).

## Παράδειγμα (Τse): Τοίχος με ανόρλαση (επιστροφή)



- Ο δέκτης κινείται με σταθερή ταχύτητα  $v$ :  $r = r_0 + vt$ .
- Πεδίο στο δέκτη:  $E_r(f, t) = \frac{\alpha \cos 2\pi f \left[ \left(1 - \frac{v}{c}\right)t - \frac{r_0}{c} \right]}{r_0 + vt} - \frac{\alpha \cos 2\pi f \left[ \left(1 + \frac{v}{c}\right)t + \frac{r_0 - 2d}{c} \right]}{2d - r_0 - vt}$ .
- Το απ' ευθείας κύμα υφίσταται μετατόπιση Doppler  $D_1 = -\frac{fv}{c}$ . Το ανορλώμενο κύμα υφίσταται μετατόπιση Doppler  $D_2 = +\frac{fv}{c}$ .
- Διασπορά Doppler:  $D_s = D_2 - D_1$ .

## Παράδειγμα (Τse): Τοίχος με ανάλαση (επιστροφή)

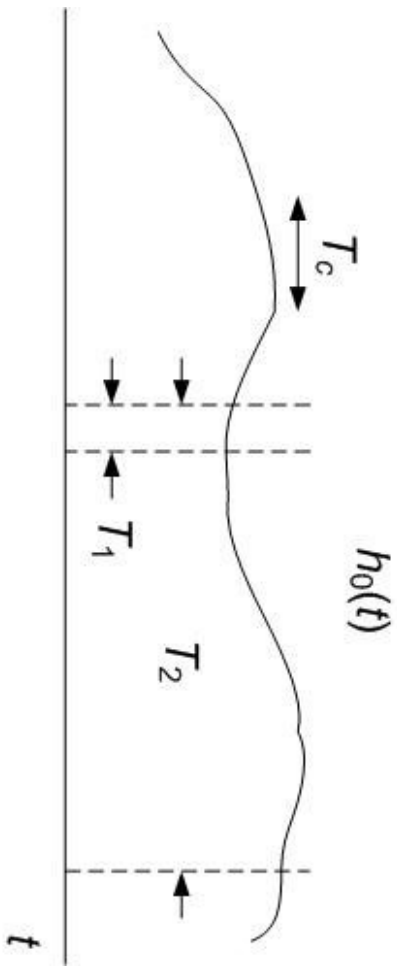


- Με πρόξεις, μπορεί να δειχθεί ότι  $E_r(f, t) \approx \frac{2\alpha \sin 2\pi f \left[ \frac{v}{c}t + \frac{r_0 - d}{c} \right]}{r_0 + vt} \sin 2\pi f \left[ t - \frac{d}{c} \right]$ . Δηλαδή, η περιβάλλουσα της  $E_r(f, t)$  μεταβάλεται ημιτονοειδώς με συχνότητα  $f_c^u = \frac{D_s}{2}$  λόγω της κίνησης του δέκτη.

## Ταχύτητα διαλείψεων (**fast/slow fading**).

---

- Η ταχύτητα διαλείψεων καθορίζεται τόσο από το φανόμενο Doppler, όσο και από το χρονικό διάστημα που χρησιμοποιούμε το κανάλι.
- Στο σχήμα απεικονίζεται το πλάτος ενός tap. Όταν το κανάλι χρησιμοποιείται για χρονικό διάστημα της τάξης του  $T_c$  (π.χ.  $T_1$ ) η διάλειψη είναι αργή, αλλίως είναι ταχεία.



## Ανακεφαλαίωση

- 2 βασικά φαινόμενα στο κανάλι ανητών επικονιωνιών:
  - Πολυδιαδρομική διάδοση (*multipath*): Δημιουργεί επιλεκτικότητα καναλιού στη συχνότητα. Ποσοτικούς με χρήση του εύρους ζώνης συμφωνίας ή της διασποράς πολυδιαδρομικής διάδοσης.
  - Διαδείψεις λόγω κίνησης (φαινόμενο *Doppler*): Δημιουργεί μεταβολή των *tags* του καναλιού στο χρόνο. Ποσοτικούς με χρήση του χρόνου συμφωνίας ή της διασποράς *Doppler*.
- Η επιλεξικότητα στο χρόνο και στη συχνότητα δημιουργεί προβλήματα στην εκτίμηση του καναλιού. Ωστόσο, από την άλλη, μπορούμε να κερδίσουμε σε αξιοπιστία μετάδοσης χρησιμοποιώντας τεχνικές διαφορισμού (*diversity*) στο χρόνο ή στη συχνότητα.